

# 围长至少为 8 的 QC-LDPC 码的新构造： 一种显式框架

张国华<sup>1,2</sup>, 王新梅<sup>1</sup>

(1. 西安电子科技大学综合业务网理论及关键技术国家重点实验室, 陕西西安 710071;

2. 中国空间技术研究院西安分院, 陕西西安 710100)

**摘 要:** 构造围长较大的校验矩阵, 是提高二进制和多进制 QC-LDPC 码译码性能的一种有效手段. 本文提出一种不需要借助于任何计算机搜索步骤, 能够直接构造出围长至少为 8 的 QC-LDPC 码的显式构造框架. 该框架所构造的 QC-LDPC 码不仅满足围长至少为 8 的条件, 而且还具有循环置换矩阵(CPM)尺寸可以连续变化的优点. 该框架可以分为两个步骤: 第一步是在无穷大 CPM 尺寸条件下利用确定性方法构造一个围长至少为 8 的校验矩阵; 第二步是根据本文新发现的一个围长性质, 从该校验矩阵的移位矩阵直接精确地计算出 CPM 尺寸连续变化的紧致下界.

**关键词:** 低密度奇偶校验码; 准循环; 围长; 显式构造

**中图分类号:** TN911.22

**文献标识码:** A

**文章编号:** 0372-2112 (2012)02-0331-07

**电子学报 URL:** <http://www.ejournal.org.cn>

**DOI:** 10.3969/j.issn.0372-2112.2012.02.020

## Novel Constructions of QC-LDPC Codes with Girth at Least Eight: An Explicit Framework

ZHANG Guo-hua<sup>1,2</sup>, WANG Xin-mei<sup>1</sup>

(1. State Key Lab of Integrated Service Networks, Xidian University, Xi'an, Shaanxi 710071, China;

2. China Academy of Space Technology (Xi'an), Xi'an, Shaanxi 710100, China)

**Abstract:** Enabling the parity-check matrices to have a large girth is an efficient method to improve the decoding performance for many binary and non-binary QC-LDPC codes. A new explicit framework to construct QC-LDPC codes with girth at least eight is proposed, without any computer search procedures. The QC-LDPC codes constructed by the framework not only have a girth at least eight, but also possess an advantage of consecutive cyclic permutation matrix (CPM) sizes. The framework includes two steps: first, a parity-check matrix is explicitly constructed with a girth at least eight under an infinite CPM size; second, the tight lower bound of consecutive CPM sizes is precisely calculated directly from the corresponding shift matrix of the parity-check matrix, by employing a new girth property discovered by this paper.

**Key words:** low-density parity-check (LDPC) codes; quasi-cyclic (QC); girth; explicit construction

## 1 引言

使 Tanner 图具有较大的围长, 是提高二进制和多进制 QC-LDPC 码译码性能的一个有效途径<sup>[1~19]</sup>. 目前, 围长至少 8 的 QC-LDPC 码的设计方法主要有三类. 第一类是基于计算机搜索或检测的方法, 例如平衡环路<sup>[4]</sup>、控制方程<sup>[6]</sup>、循环差族<sup>[9]</sup>、爬山算法<sup>[10]</sup>、有限域和欧氏几何<sup>[14]</sup>、二维网格<sup>[15]</sup>、有限多项式环<sup>[16]</sup>、列差<sup>[17]</sup>、超图<sup>[18]</sup>等. 这类方法将构造问题转变为受若干约束条件限制的

计算机搜索或检测算法, 可以比较灵活地获得满足各种约束条件的码型. 但是, 这类方法存在两个不足: 第一, 计算机搜索所花费的时间通常较长; 第二, 由于没有研究存在性问题, 算法存在失败的可能性(即始终无法找到满足约束条件的可行解). 第二类是完全确定性的方法, 例如最早序列<sup>[2]</sup>、群结构<sup>[5]</sup>、Hoey 序列<sup>[7]</sup>、三维循环网格<sup>[11]</sup>、文献[12, 13]提出的两种方法、文献[20, 21]提出的两种方法. 这类方法可以用显式方式直接构造出校验矩阵, 并且其围长特性已经过严格的理论证明. 这

类方法不需要任何计算机搜索操作,也不存在构造失败的可能性.第三类是大围长 QC-LDPC 码构造的一些通用理论:例如基于中国剩余定理的方法<sup>[3]</sup>、一种适用于围长至少为 8 的 QC-LDPC 码的行重扩展方法<sup>[8]</sup>、基于部分积的方法<sup>[19]</sup>、码长连续取值的下界<sup>[22,23]</sup>等.利用这类方法可以在已知码的基础上非常简单地构造出新码.由于发现第二类和第三类方法的难度比较大,因此目前属于这两类方法的具体成果还较为罕见.

本文的研究对象是第二类方法.在第二类方法中,群结构法<sup>[5]</sup>可以构造围长为 12 的 QC-LDPC 码,但是列重只能为 3,行重只能为 5;Hoey 序列<sup>[7]</sup>可以构造出围长为 12 的 QC-LDPC 码,但是列重只能为 2;三维循环网格方法<sup>[11]</sup>可以构造围长为 8 和 10 的 QC-LDPC 码,但是列重只能为 3,行重只能为素数.这在一定程度上限制了它们的实际应用.本文对围长限定为“至少为 8”,在这种条件下人们已经发现了一些行重可以任意取值,列重可以为 3<sup>[2,12,20]</sup>也可以为 4<sup>[13,21]</sup>的确定性构造方法.

本文的创新点是:提出了一种构造围长至少为 8 的 QC-LDPC 码的显式构造框架.不同与已有的具体构造方法,该框架的显著优点是提供了构造围长至少为 8 的 QC-LDPC 码的一个系统化方法:通过不同的参数配置,该框架在原则上可以演变出无数种具体的构造方法.作为例子,我们从该框架非常简洁地推导出了第二类方法中的四种已有方法<sup>[12,13,20,21]</sup>,并极大地简化了原有方法各自非常复杂的围长性质证明.该框架还自然地推导出了两种已知方法<sup>[12,13]</sup>所没有发现的新围长性质.此外,应用该框架我们还推导出一种构造围长至少为 8 的 QC-LDPC 码的新确定性方法;进一步的理论分析表明,这种新方法所构造的 QC-LDPC 码的围长事实上至少为 10.

## 2 新提出的显式构造框架

根据文献[1], $(J, L)$  QC-LDPC 码的校验矩阵可以规范化地表示为:

$$\mathbf{H}(X) = \begin{bmatrix} \mathbf{I}(0) & \mathbf{I}(0) & \cdots & \mathbf{I}(0) \\ \mathbf{I}(0) & \mathbf{I}(p_{1,1}) & \cdots & \mathbf{I}(p_{1,L-1}) \\ \vdots & \vdots & \ddots & \vdots \\ \mathbf{I}(0) & \mathbf{I}(p_{J-1,1}) & \cdots & \mathbf{I}(p_{J-1,L-1}) \end{bmatrix} \quad (1)$$

其中, $J$ 和 $L$ 分别为校验矩阵的列重和行重, $\mathbf{I}(p)$ 是受移位值 $p$ 控制的一个 $X \times X$ 的循环置换矩阵(CPM),具体定义见文献[1].与 $\mathbf{H}(X)$ 对应的移位矩阵 $\mathbf{S}_H(X)$ 可以表示为:

$$\mathbf{S}_H(X) = \begin{bmatrix} 0 & 0 & \cdots & 0 \\ 0 & p_{1,1} & \cdots & p_{1,L-1} \\ \vdots & \vdots & \ddots & \vdots \\ 0 & p_{J-1,1} & \cdots & p_{J-1,L-1} \end{bmatrix} \quad (2)$$

## 2.1 CPM 尺寸无穷大时一种围长至少为 8 的校验矩阵

在构造大围长 QC-LDPC 码时,已有方法通常都是在特定的有限 CPM 尺寸 $X$ 下,利用文献[1]中的模 $X$ 等式来检测校验矩阵中是否会出现某个长度的环,当所有模 $X$ 等式都不成立时就找到了满足围长条件的校验矩阵.本节将采取一种明显不同的方式来构造校验矩阵:先假定 CPM 尺寸为无穷大(即 $X = \infty$ ),然后构造出满足围长条件的移位矩阵,最后通过理论分析的方法得出该移位矩阵所适用的 CPM 尺寸范围.

在 $X = \infty$ 时构造移位矩阵有两个好处:第一,文献[1]中的模 $P$ 等式可以转变为通常意义下的一般等式;在本节引理 1 的证明中可以看到,这样做有助于得到具有较强理论价值的结果.第二,一般等式成立时模 $X$ 等式必然成立,反之则不然;所以, $X = \infty$ 时选择较小的移位值就可以破坏等式的成立条件,我们举一个例子来说明这一点的重要作用.假设 $J = 3$ 且移位矩阵 $\mathbf{S}_H(X)$ 的第 2 行移位值是第 1 行移位值的 3 倍.当 $X = 1213$ 时文献[6]根据围长为 12 的条件,采用贪婪搜索得到了第 1 行的前 7 个移位值:0, 1, 7, 29, 96, 148, 324.在 $X = \infty$ 时我们采用同样的方法得到了第 1 行前 7 个移位值:0, 1, 7, 29, 96, 148, 261.可见, $X = \infty$ 时 $p_{1,6} = 261$ 比 $X = 1213$ 时 $p_{1,6} = 324$ 要小很多.根据文献[23]可知:采用第一种移位矩阵时,对于任意 $X > 648$ 得到的 $(3, 7)$  QC-LDPC 码的围长都为 12;而采用第二种移位矩阵时,对于任意 $X > 522$ 得到的 $(3, 7)$  QC-LDPC 码的围长都为 12.这说明: $X = \infty$ 时可以设计出 CPM 连续取值范围更大的大围长 QC-LDPC 码.

下面开始本节的主要内容.我们研究一种特殊类型的移位矩阵:该移位矩阵为 4 行 $L$ 列,且第 3 行移位值为第 1, 2 行移位值之和,如式(3)所示.

$$\mathbf{S}(X) = \begin{bmatrix} 0 & 0 & \cdots & 0 \\ 0 & p_{1,1} & \cdots & p_{1,L-1} \\ 0 & p_{2,1} & \cdots & p_{2,L-1} \\ 0 & p_{1,1} + p_{2,1} & \cdots & p_{1,L-1} + p_{2,L-1} \end{bmatrix} \quad (3)$$

为了便于分析 $\mathbf{S}(X)$ 的围长性质,引入定义 1.

**定义 1**  $\mathbf{S}(X; i, j, k)$ 为 $\mathbf{S}(X)$ 的第 $i, j, k$ 行( $0 \leq i, j, k \leq 3$ )所构成的移位矩阵.

本文新提出的显式构造框架的第一个步骤,建立在引理 1 的基础上.

**引理 1** 假设 $p_{1,1}, p_{1,2}, \cdots, p_{1,L-1}$ 是严格递增的 $L-1$ 个正整数,且对于任意 $1 \leq n \leq L-1, p_{2,n} \geq p_{2,n-1} + 1 + \max\{p_{1,n}, p_{1,L-1} - p_{1,n-1}\}$ ,则 $\mathbf{S}(\infty; 0, 1, 2)$ 的围长至少为 8.

**证明** 根据引理 1 的题设条件,显然 $\mathbf{S}(\infty; 0, 1, 2)$

中不含 4-环. 下面证明  $S(\infty; 0, 1, 2)$  中不含 6-环. 设  $r, s, t$  满足  $0 \leq r, s, t < L; r \neq s, s \neq t, r > t$ . 则  $S(\infty; 0, 1, 2)$  中可能出现的 6-环模式只有图 1 所示的两种.

①若  $S(\infty; 0, 1, 2)$  中包含图 1 模式  $a$  所示的 6-环, 则  $p_{1,r} - p_{2,r} + p_{2,t} - 0 + 0 - p_{1,s} = 0$ , 即  $p_{2,r} - p_{2,t} = p_{1,r} - p_{1,s}$ . 而  $p_{2,r} - p_{2,t} \geq 1 + \max\{p_{1,r}, p_{1,L-1} - p_{1,t}\} \geq 1 + p_{1,r} > p_{1,r} - p_{1,s}$ , 矛盾.

②若  $S(\infty; 0, 1, 2)$  中包含图 1 模式  $b$  所示的 6-环, 则  $0 - p_{2,r} + p_{2,t} - p_{1,t} + p_{1,s} - 0 = 0$ , 即  $p_{2,r} - p_{2,t} = p_{1,s} - p_{1,t}$ . 而  $p_{2,r} - p_{2,t} \geq 1 + \max\{p_{1,r}, p_{1,L-1} - p_{1,t}\} \geq 1 + p_{1,L-1} - p_{1,t} > p_{1,s} - p_{1,t}$ , 矛盾.

我们发现, 无论  $X$  是一个有限正整数还是无穷大,  $S(X)$  中 6-环的出现都存在引理 2 描述的规律性.

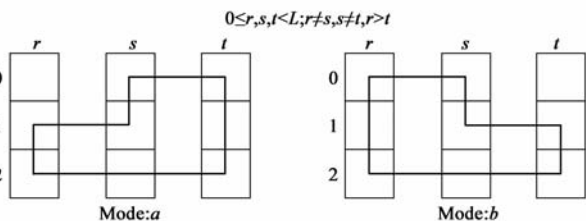


图 1  $S(\infty; 0, 1, 2)$  中经过  $p_{2,r}$  和  $p_{2,t}$  的两种可能 6-环模式

**引理 2** 若  $S(X; 0, 1, 2)$  无 6-环, 则  $S(X; 1, 2, 3)$  也无 6-环; 若  $S(X; 0, 1, 3)$  无 6-环, 则  $S(X; 0, 2, 3)$  也无 6-环.

**证明** 设  $r, s, t$  满足  $0 \leq r, s, t < L; r \neq s, s \neq t, t \neq r$ .

①若  $S(X; 1, 2, 3)$  存在 6-环, 则存在 3 个整数  $r, s, t$  满足  $p_{2,r} - p_{3,r} + p_{3,t} - p_{1,t} + p_{1,s} - p_{2,s} \equiv 0 \pmod{X}$ . 由于第 3 行移位值是第 1, 2 行移位值之和, 所以有  $0 - p_{1,r} + p_{1,s} - p_{2,s} + p_{2,t} - 0 \equiv 0 \pmod{X}$ , 这说明  $S(X; 0, 1, 2)$  存在 6-环. 与题设矛盾.

②若  $S(X; 0, 2, 3)$  存在 6-环, 则存在 3 个整数  $r, s, t$  满足  $p_{2,r} - p_{3,r} + p_{3,t} - 0 + 0 - p_{2,s} \equiv 0 \pmod{X}$ . 由于第 3 行移位值是第 1, 2 行移位值之和, 所以有  $0 - p_{1,r} + p_{1,s} - p_{3,s} + p_{3,t} - 0 \equiv 0 \pmod{X}$ , 这说明  $S(X; 0, 1, 3)$  存在 6-环. 与题设矛盾.

由引理 1, 2 立即可得定理 1.

**定理 1** 假设  $p_{1,1}, p_{1,2}, \dots, p_{1,L-1}$  是严格递增的  $L-1$  个正整数, 且对于任意  $1 \leq n \leq L-1$   $p_{2,n} \geq p_{2,n-1} + 1 + \max\{p_{1,n}, p_{1,L-1} - p_{1,n-1}\}$ , 则  $\text{girth}(S(\infty)) \geq 8$ .

定理 1 充分概括了本文新提出的显式构造框架第一个步骤的方法和结果. 根据定理 1, 可以在无穷大 CPM 尺寸条件下以完全确定的方式构造一个围长至少为 8、列重为 4 行重为  $L$  的校验矩阵.

## 2.2 CPM 尺寸连续变化的紧致下界

CPM 尺寸可以连续变化的 QC-LDPC 码, 对于自适

应链路系统具有较大的应用价值<sup>[16]</sup>, 对于大围长 QC-LDPC 码的存在性和基于中国剩余定理的大围长 QC-LDPC 码构造等问题都具有较重要的理论价值<sup>[22]</sup>.

本节设  $J \geq 3$ . 为研究 CPM 尺寸连续变化问题的方便, 本节考察 QC-LDPC 码校验矩阵的非规范化形式, 如式(4)所示. 式(1)描述的规范化形式是式(4)的特例.

$$H'(X) = \begin{bmatrix} I(p_{0,0}) & I(p_{0,1}) & \cdots & I(p_{0,L-1}) \\ I(p_{1,0}) & I(p_{1,1}) & \cdots & I(p_{1,L-1}) \\ \vdots & \vdots & \ddots & \vdots \\ I(p_{J-1,0}) & I(p_{J-1,1}) & \cdots & I(p_{J-1,L-1}) \end{bmatrix} \quad (4)$$

与  $H'(X)$  对应的移位矩阵可以表示为

$$U(X) = \begin{bmatrix} p_{0,0} & p_{0,1} & \cdots & p_{0,L-1} \\ p_{1,0} & p_{1,1} & \cdots & p_{1,L-1} \\ \vdots & \vdots & \ddots & \vdots \\ p_{J-1,0} & p_{J-1,1} & \cdots & p_{J-1,L-1} \end{bmatrix} \quad (5)$$

给定一个围长至少为 10 的  $(3, L)$  QC-LDPC 码, 人们研究了(移位矩阵不变, 围长至少为 10 时) CPM 尺寸连续变化的下界<sup>[16, 22]</sup>. 那么, 给定一个围长至少为 8 的 QC-LDPC 码, (移位矩阵不变, 围长至少为 8 时) 是否也存在 CPM 尺寸连续变化的下界? 我们使用数学语言将该问题归结为:

**问题 1** 假设  $\text{girth}(U(\infty)) \geq 8$ . 问: 满足条件“对于任意  $X \geq Q$  均有  $\text{girth}(U(X)) \geq 8$ ”的最小  $Q$  值是多少?

为了研究问题 1, 引入定义 2 和定义 3.

**定义 2** 对于  $0 \leq J_1 < J$  和  $0 \leq J_2 < J (J_1 \neq J_2)$ , 定义第  $J_1$  行与第  $J_2$  行的差向量为

$$D_{J_1, J_2} := \{p_{J_1,0} - p_{J_2,0}, p_{J_1,1} - p_{J_2,1}, \dots, p_{J_1,L-1} - p_{J_2,L-1}\} \quad (6)$$

令  $0 \leq i < j < k < J; 0 \leq r, s, t < L (r \neq s, s \neq t, t \neq r)$ . 在定义 2 基础上引入 3 个符号.

**定义 3**  $T_{i,j,k} := \max(D_{i,j}) + \max(D_{j,k}) + \max(D_{k,i})$ ,  $T'_{i,j,k} := \max(D_{j,i}) + \max(D_{k,j}) + \max(D_{i,k})$ ,  $Q_{i,j,k} := \max(T_{i,j,k}, T'_{i,j,k}) + 1$ .

**性质 1**  $T_{i,j,k} \geq 0, T'_{i,j,k} \geq 0$ .

**证明** 根据定义 2, 显然有  $\max(D_{J_1, J_2}) = -\min(D_{J_2, J_1})$ . 又因为  $\max(D_{i,j}) + \max(D_{j,k}) \geq \max(D_{i,k}) \geq \min(D_{i,k})$ , 所以  $T_{i,j,k} \geq 0$ . 同理,  $T'_{i,j,k} \geq 0$ .

本文新提出的显式构造框架的第二个步骤, 建立在引理 3 的基础上.

**引理 3** 若  $\text{girth}(U(\infty; i, j, k)) \geq 8$ , 则对于任意  $X \geq Q_{i,j,k}$  均有  $\text{girth}(U(X; i, j, k)) \geq 8$ , 而  $\text{girth}(U(Q_{i,j,k} - 1; i, j, k)) < 8$ .

**证明** ①首先, 证明  $U(X; i, j, k)$  不含 4-环. 假设

在第  $i, j$  行, 第  $r, s$  列中存在一个 4-环, 则

$$p_{i,r} - p_{j,r} + p_{j,s} - p_{i,s} \equiv 0 \pmod{X} \quad (7)$$

记式(7)左侧表达式为  $LH7$ , 则  $LH7 = (p_{i,r} - p_{j,r}) + (p_{j,s} - p_{k,s}) + (p_{k,s} - p_{i,s})$ .  $LH7$  的取值范围是:  $-T'_{i,j,k} \leq LH7 \leq T_{i,j,k}$ . 由于  $U(\infty; i, j, k)$  无 4-环, 所以  $LH7 \neq 0$ . 因此,  $0 < |LH7| \leq \max(T_{i,j,k}, T'_{i,j,k}) < Q_{i,j,k} \leq X$ . 与式(7)矛盾.

②其次, 证明  $U(X; i, j, k)$  不含 6-环. 假设在第  $i, j, k$  行, 第  $r, s, t$  列中存在一个 6-环, 则

$$p_{i,r} - p_{j,r} + p_{j,s} - p_{k,s} + p_{k,t} - p_{i,t} \equiv 0 \pmod{X} \quad (8)$$

记式(8)左侧表达式为  $LH8$ , 则  $LH8$  的取值范围是:  $-T'_{i,j,k} \leq LH8 \leq T_{i,j,k}$ . 由于  $U(\infty; i, j, k)$  无 6-环, 所以  $LH8 \neq 0$ . 因此,  $0 < |LH8| \leq \max(T_{i,j,k}, T'_{i,j,k}) < Q_{i,j,k} \leq X$ . 与式(8)矛盾.

③最后, 证明  $U(Q_{i,j,k} - 1; i, j, k)$  存在长度小于 8 的环.

假设  $\max(D_{i,j}), \max(D_{j,k}), \max(D_{k,i})$  分别出现在第  $r, s, t$  列. 显然,  $r = s = t$  是不可能的.

若  $r, s, t$  互不相同, 则出现图 2 中  $a_1$  所示的 6-环:

$$\begin{aligned} T_{i,j,k} &= (p_{i,r} - p_{j,r}) + (p_{j,s} - p_{k,s}) + (p_{k,t} - p_{i,t}) \\ &\equiv 0 \pmod{T_{i,j,k}} \end{aligned}$$

若  $r = s, s \neq t$ , 则出现图 2 中  $a_2$  所示的 4-环:

$$\begin{aligned} T_{i,j,k} &= (p_{i,r} - p_{j,r}) + (p_{j,s} - p_{k,s}) + (p_{k,t} - p_{i,t}) \\ &= (p_{i,r} - p_{k,r}) + (p_{k,t} - p_{i,t}) \\ &\equiv 0 \pmod{T_{i,j,k}}. \end{aligned}$$

若  $r \neq s, s = t$ , 则出现图 2 中  $a_3$  所示的 4-环:

$$\begin{aligned} T_{i,j,k} &= (p_{i,r} - p_{j,r}) + (p_{j,s} - p_{k,s}) + (p_{k,t} - p_{i,t}) \\ &= (p_{i,r} - p_{j,r}) + (p_{j,s} - p_{i,s}) \\ &\equiv 0 \pmod{T_{i,j,k}}. \end{aligned}$$

若  $r = t, t \neq s$ , 则出现图 2 中  $a_4$  所示的 4-环:

$$\begin{aligned} T_{i,j,k} &= (p_{i,r} - p_{j,r}) + (p_{j,s} - p_{k,s}) + (p_{k,t} - p_{i,t}) \\ &= (p_{k,r} - p_{j,r}) + (p_{j,s} - p_{k,s}) \\ &\equiv 0 \pmod{T_{i,j,k}}. \end{aligned}$$

总之,  $\text{girth}(U(T_{i,j,k}; i, j, k)) < 8$ . 同理可证  $\text{girth}(U(T'_{i,j,k}; i, j, k)) < 8$ . 因此, 有  $U(Q_{i,j,k} - 1; i, j, k)$  的围长小于 8.

由引理 3 立即可得定理 2.

**定理 2** 令  $Q = \max_{0 \leq i < j < k < J} \{Q_{i,j,k}\}$ . 若  $\text{girth}(U(\infty)) \geq 8$ , 则对于任意  $X \geq Q$  均有  $\text{girth}(U(X)) \geq 8$ , 而  $\text{girth}(U(Q-1)) < 8$ .

定理 2 充分概括了本文新提出的显式构造框架第二个步骤的方法和结论. 根据定理 2, 可以从移位矩阵直接精确计算出 CPM 尺寸连续变化的紧致下界. 我们将在第 3 节看到定理 2 的具体应用.

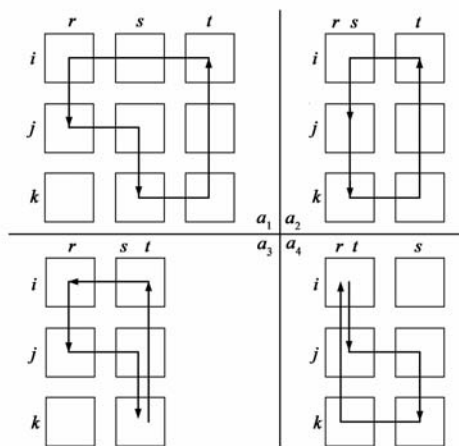


图2  $X=T_{i,j,k}$  时必然出现  $a_1-a_4$  中的一种小环(长度小于 8)

### 3 由框架导出四种已知的确定性方法

利用确定性方法, 文献[20,21]分别构造了一类  $(3, L)$  QC-LDPC 码和一类  $(4, L)$  QC-LDPC 码, 并证明: 它们的 CPM 尺寸可以(在一个门限之上)连续变化, 并且围长均为 8. 通过对移位矩阵直接赋值, 文献[12,13]分别构造了一类多进制  $(3, L)$  QC-LDPC 码和一类多进制  $(4, L)$  QC-LDPC 码, 并证明对于特定的某个 CPM 取值, 它们的围长均为 8.

下面, 本文从新框架的视角对这四种已有方法进行深入分析.

设  $\text{INT}(Y)$  表示不小于  $Y$  的最小整数. 令  $p_{1,n} = n$  ( $1 \leq n \leq L-1$ ), 则定理 1 中的条件  $p_{2,n} \geq p_{2,n-1} + 1 + \max\{p_{1,n}, p_{1,L-1} - p_{1,n-1}\}$  转变为  $p_{2,n} \geq p_{2,n-1} + \max\{n+1, L-n+1\}$ .

下面讨论两种特殊情况.

①  $p_{2,n} = p_{2,n-1} + \max\{n+1, L-n+1\}$ . 该情形对应于文献[20,21]提出的构造方法, 该方法与中国剩余定理结合在一起设计出了性能优良的二进制 QC-LDPC 码.

**推论 1** 对于任意  $X \geq 3L^2/4$ ,  $\text{girth}(S(X; 0, 1, 2)) = 8$ ,  $X = \text{INT}(3L^2/4) - 1$  时  $\text{girth}(S(X; 0, 1, 2)) < 8$ .

**推论 2** 对于任意  $X \geq 3L^2/4 + L - 1$ ,  $\text{girth}(S(X)) = 8$ , 而  $X = \text{INT}(3L^2/4) + L - 2$  时  $\text{girth}(S(X)) < 8$ .

**证明** 由定理 1 可知  $\text{girth}(S(\infty)) \geq 8$ , 根据  $p_{1,n}$  的赋值方式,  $S(\infty)$  的第 0 行和第 1 行中存在子矩阵  $\begin{bmatrix} 0 & 0 & 0; 0 & 1 & 2 \end{bmatrix}$ , 这显然会导致 8-环, 因此  $\text{girth}(S(\infty)) = 8$ ,  $\text{girth}(S(\infty; 0, 1, 2)) = 8$ . 根据定理 2,  $T_{0,1,2} = 0 + 0 + p_{2,L-1} = p_{2,L-1}$ ,  $T'_{0,1,2} = (L-1) + \{p_{2,L-1} - (L-1)\} + 0 = p_{2,L-1}$ , 而

$$p_{2,L-1} = \sum_{n=1}^{L-1} \max\{n+1, L-n+1\} = \text{INT}(3L^2/4) - 1$$

所以,  $Q_{0,1,2} = \max(T_{0,1,2}, T'_{0,1,2}) + 1 = \text{INT}(3L^2/4)$ .

同理可证  $Q_{0,1,3} = Q_{0,2,3} = \text{INT}(3L^2/4) + L - 1$ ,  $Q_{1,2,3} = \text{INT}(3L^2/4)$ . 所以,  $Q = \max\{Q_{0,1,2}, Q_{0,1,3}, Q_{0,2,3}, Q_{1,2,3}\} = \text{INT}(3L^2/4) + L - 1$ .

推论 1 完全包含了文献[20]中发现的围长特性和 CPM 连续取值门限,推论 2 完全包含了文献[21]中发现的围长特性和 CPM 连续取值门限.

②  $p_{2,n} = p_{2,n-1} + L$ . 该情形对应于文献[12,13]提出的构造方法,该方法设计出了性能优良的多进制 QC-LDPC 码.

推论 3 对于任意  $X \geq L(L-1) + 1$ ,  $\text{girth}(S(X; 1, 2, 3)) = 8$ ; 而当  $X = L(L-1)$  时  $\text{girth}(S(X; 1, 2, 3)) < 8$ .

推论 4 对于任意  $X \geq L^2$ ,  $\text{girth}(S(X)) = 8$ ; 而当  $X = L^2 - 1$  时  $\text{girth}(S(X)) < 8$ .

证明 因为  $L \geq \max\{n+1, L-n+1\}$ , 所以  $p_{2,n} \geq p_{2,n-1} + \max\{n+1, L-n+1\}$ . 因此,由定理 1 可知  $\text{girth}(S(\infty)) \geq 8$ . 根据  $p_{1,n}$  和  $p_{2,n}$  的赋值方式,  $S(\infty)$  的第 1 行和第 2 行中存在子矩阵  $\begin{bmatrix} 0 & 1 & 2; 0 & L & 2L \end{bmatrix}$ , 这显然会导致 8-环, 因此  $\text{girth}(S(\infty)) = 8$ ,  $\text{girth}(S(\infty; 1, 2, 3)) = 8$ . 根据定理 2,  $T_{0,1,2} = 0 + 0 + p_{2,L-1} = (L-1)L$ ,  $T'_{0,1,2} = (L-1) + \{(L-1)L - (L-1)\} + 0 = (L-1)L$ , 所以  $Q_{0,1,2} = \max(T_{0,1,2}, T'_{0,1,2}) + 1 = (L-1)L + 1$ . 同理可证,  $Q_{0,1,3} = Q_{0,2,3} = L^2$ ,  $Q_{1,2,3} = (L-1)L + 1$ . 所以,  $Q = \max\{Q_{0,1,2}, Q_{0,1,3}, Q_{0,2,3}, Q_{1,2,3}\} = L^2$ .

推论 3~4 不仅包含了文献[12,13]发现的全部围长特性,而且得出了更丰富和深刻的新结论. 例如,文献[12,13]没有研究 CPM 尺寸的连续变化问题,而推论 3 和推论 4 非常简洁地推导出了针对该问题的新结论; 文献[12,13]假定  $X+1$  为素数幂,而推论 3 和推论 4 对于  $X$  的取值类型没有进行任何限制.

## 4 由框架导出的一种新方法

第 3 节的四种方法均定义  $p_{1,n} = n (1 \leq n \leq L-1)$ . 本节改变  $p_{1,n}$  的赋值方法,利用本文提出的显式构造框架设计了一种新的 QC-LDPC 码构造方法. 新的赋值方法需要用到 Golomb 尺的概念.

定义 4 Golomb 尺<sup>[24]</sup>: Golomb 尺是一个整数集合  $a_0 < a_1 < \dots < a_{L-1}$ , 其中差值  $a_r - a_s (r \neq s)$  互不相同.

关于 Golomb 尺构造方法的综述可以参考文献[25]. 下面介绍一种代数构造方法.

Ruzsa 构造法<sup>[25]</sup>: 设  $p$  为素数,  $g$  为有限域  $GF(p)$  的本原元, 则集合

$$R(p, g) = pa + (p-1)g^a \bmod(p-1), 1 \leq a \leq p-1 \quad (10)$$

构成一个 Golomb 尺.

定理 3 设  $0 = p_{1,0} < p_{1,1} < \dots < p_{1,L-1}$  是一个 Golomb 尺. 若

$$p_{2,1} \geq p_{1,L-1} + p_{1,1} + 1 \quad (11)$$

且对于  $2 \leq y \leq L-1$  有

$$p_{2,y} \geq 2p_{2,y-1} + p_{1,y} - p_{1,y-1} + 1 \quad (12)$$

则  $S(\infty)$  的围长至少为 8.

证明 根据定理 1, 显然有  $\text{girth}(S(\infty)) \geq 8$ .

注 1: 事实上, 可以证明满足定理 3 条件的移位值不会在  $S(\infty; 0, 1, 2)$  中产生 8-环(证明见附录). 因此, 根据定理 3 得出的  $S(\infty; 0, 1, 2)$  可以构造出围长至少为 10 的  $(3, L)$  QC-LDPC 码.

下面我们举一个例子来说明新构造方法. 令  $p = 7$ ,  $g = 3$ . 容易验证,  $g$  的所有幂次对 7 取模可以生成  $GF(7)$  中的所有非零元素  $\{1, 2, 3, 4, 5, 6\}$ , 因此  $g = 3$  是  $GF(7)$  的一个本原元. 根据式(10)得到一个 Golomb 尺:  $R(7, 3) = \{25, 26, 15, 10, 23, 6\}$ . 根据 Golomb 尺的移位不变性<sup>[25]</sup>,  $R(7, 3)$  各项减去 6 并排序, 得到的集合  $\{0, 4, 9, 17, 19, 20\}$  仍然是一个 Golomb 尺. 在该例中, 我们选择定理 3 中式(11)和式(12)取等号的赋值方式, 则得到式(13)所示的移位矩阵  $S(X)$ . 根据定理 3,  $S(\infty)$  的围长至少为 8. 因此,  $S(\infty; 0, 1, 2)$  的围长也至少为 8. 其实, 由附录的证明可知  $S(\infty; 0, 1, 2)$  的围长至少为 10. 根据紧致下界<sup>[22]</sup>可知: 对于任意整数  $X \geq 2 \times 492 + 1$ ,  $S(X; 0, 1, 2)$  的围长至少为 10.

$$S(X) = \begin{bmatrix} 0 & 0 & 0 & 0 & 0 & 0 \\ 0 & 4 & 9 & 17 & 19 & 20 \\ 0 & 25 & 56 & 121 & 245 & 492 \\ 0 & 29 & 65 & 138 & 264 & 512 \end{bmatrix} \quad (13)$$

本节的研究结果说明: 基于新提出的显式构造框架可以开发出新的构造方法; 该框架本身并不限制 QC-LDPC 码的围长只能等于 8, 在满足定理 1 的基础上对移位值进行恰当配置(例如定理 3)也可以得到围长超过 8 的 QC-LDPC 码的确定性构造方法.

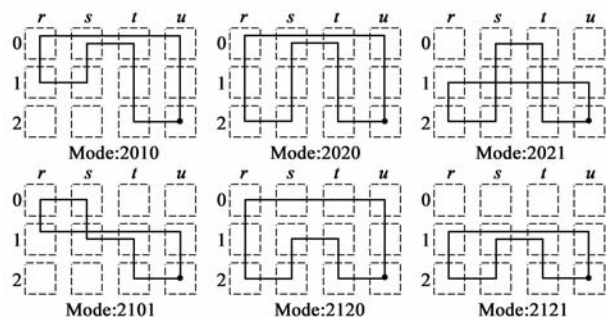
## 5 结论

本文提出了一种构造围长至少为 8 的 QC-LDPC 码的显式框架. 该框架的突出特点是: (1) 不需要任何计算机搜索步骤; (2) 构造的 QC-LDPC 码不仅围长至少为 8, 而且还具有 CPM 尺寸连续变化的优点. 本文提出的显式框架是一种系统化的确定性构造方法, 利用它可以推导出许多具体的已知或新的确定性构造方法. 因此, 新提出的框架对于围长至少为 8 的二进制和多进制 QC-LDPC 码的具体构造方法具有重要的指导意义和参考价值. 与 QC-LDPC 码的一些理论文献[5, 20, 22, 23, 26~28]一样, 本文的目的是获得对于 QC-LDPC 码构造具有一定指导意义的新理论成果. 对于译码性能的计算机

仿真等问题,将在后续论文中作进一步研究.

## 附录

**证明** 根据 Golomb 尺的定义,在  $S(\infty)$  的第 0 行和第 1 行移位值之间不会产生 8-环. 下面证明: 在第 2 行中依次添加移位值  $p_{2,u} (1 \leq u \leq L-1)$  后,  $S(\infty; 0, 1, 2)$  中都不会产生经过  $p_{2,u}$  的 8-环, 因此最终的  $S(\infty; 0, 1, 2)$  中也没有 8-环. 为了分析方便, 定义模式 2ABC 为: 以  $p_{2,u}$  为出发点, 按照 8-环的顺时针方向追溯, 构成 8-环的 4 条横线依次出现第 2 行、第 A 行、第 B 行和第 C 行. 通过分析易知: 经过  $p_{2,u}$  的可能 8-环只有图(A)所示的 6 种模式(黑点表示  $p_{2,u}$ ).



图A 经过  $p_{2,u}$  的可能 8-环( $r \neq s, s \neq t, t \neq u, u \neq r$ )

假设存在图 A 模式 2010 所示的 8-环, 则存在等式  $0 - p_{1,r} + p_{1,s} - 0 + 0 - p_{2,t} + p_{2,u} - 0 = 0$ .

若  $u > 1$ , 则  $p_{2,u} = p_{2,t} + p_{1,r} - p_{1,s} \leq p_{2,u-1} + p_{1,L-1} - 0$ , 与式(12)矛盾. 若  $u = 1$ , 则根据  $r \neq u, s \neq r, t \neq s, t \neq u$  的条件,  $t$  只能取 0, 此时  $r$  和  $s$  可以分别取  $L-1$  和 1. 所以,  $p_{2,1} = p_{2,0} + p_{1,r} - p_{1,s} \leq 0 + p_{1,L-1} - p_{1,1}$ , 与式(11)矛盾.

同理可证(受篇幅所限, 具体证明过程此处略去), 图 A 中的其他 5 种环也不可能存在. 总之, 在第 2 行中添加移位值  $p_{2,u} (1 \leq u \leq L-1)$  后,  $S(\infty; 0, 1, 2)$  中不会产生经过  $p_{2,u}$  的 8-环. 证毕.

## 参考文献

- [1] MPC Fossorier. Quasi-cyclic low-density parity-check codes from circulant permutation matrices[J]. IEEE Trans Inf Theory, 2004, 50(8): 1788 – 1793.
- [2] B Vasic, K Pedagani, M Ivkovic. High-rate girth-eight low-density parity-check codes on rectangular integer lattices[J]. IEEE Trans Commun, 2004, 52(8): 1248 – 1252.
- [3] S Myung, K Yang. A combining method of quasi-cyclic LDPC codes by the Chinese remainder theorem[J]. IEEE Commun Letters, 2005, 9(9): 823 – 825.
- [4] ME O'Sullivan. Algebraic construction of sparse matrices with large girth[J]. IEEE Trans Inform Theory, 2006, 52(2): 718 – 727.
- [5] S Kim, J S No H Chung, et al. On the girth of Tanner (3, 5) quasi-cyclic LDPC codes[J]. IEEE Trans Inf Theory, 2006, 52(4): 1739 – 1744.
- [6] O Milenkovic, N Kashyap, D Leyba. Shortened array codes of large girth[J]. IEEE Trans Inf Theory, 2006, 52(8): 3707 – 3722.
- [7] X Ge, S Xia. Structured non-binary LDPC codes with large girth[J]. IEE Electronics Letters, 2007, 43(22): 1220 – 1221.
- [8] M Wataru, M Yoshikuni, Y Hideo. A study on QC-LDPC codes with girth 8 or 10 for broadband[J]. IEICE Technical Report, 2007, 27: 31 – 35.
- [9] F Masaya, S Shojira. A construction of high rate quasi-cyclic regular LDPC codes from cyclic difference families with girth 8[J]. IEICE Trans Fundamentals, 2007, E90-A(5): 1055 – 1061.
- [10] Y Wang, J-S Yedidia, S-C Draper. Construction of high-girth QC-LDPC codes[A]. 5th International Symposium on Turbo Codes and Related Topics[C]. Lausanne, Switzerland, 2008. 180 – 185.
- [11] F Zhang, X Mao, W Zhou, et al. Girth-10 LDPC codes based on 3-D cyclic lattices[J]. IEEE Trans Vehicular Technology, 2008, 57(2): 1049 – 1060.
- [12] K Liu, Z Fei, J Kuang. Novel algebraic constructions of nonbinary structured LDPC codes over finite fields[A]. Proc 68th IEEE VTC Fall[C]. Calgary, Alberta, Canada, 2008. 1 – 5.
- [13] K Liu, Z Fei, J Kuang. Three algebraic methods for constructing nonbinary LDPC codes based on finite fields[A]. Proc 19th IEEE PIMRC[C]. Cannes, French Riviera, France, 2008. 1 – 5.
- [14] X Jiang, MH Lee. Large girth non-binary LDPC codes based on finite fields and Euclidean geometries[J]. IEEE Signal Processing Letters, 2009, 16(6): 521 – 524.
- [15] X Tao, W Liu, X Zou. On the construction of low-density parity-check codes with girth 10[J]. Int J Electron Commun (AEÜ), 2009, 63: 689 – 694.
- [16] 刘磊, 周武旸. 码长连续变化的 QC-LDPC 码的设计[J]. 电子与信息学报, 2009, 31(10): 2523 – 2526.  
Liu Lei, Zhou Wu-yang. Design of QC-LDPC code with continuously variable length[J]. Journal of Electronics & Information Technology, 2009, 31(10): 2523 – 2526. (in Chinese)
- [17] 张伟, 朱光喜, 彭立, 等. 大围长结构化 LDPC 码构造方法[J]. 计算机科学, 2009, 36(11): 109 – 112.  
Zhang Wei, Zhu Guang-xi, Peng Li, et al. Design of structured LDPC codes with large girth[J]. Computer Science, 2009, 36(11): 109 – 112. (in Chinese)
- [18] I-E Bocharova, F Hug, R Johannesson, et al. New low-density parity-check codes with large girth based on hypergraphs[A]. ISIT 2010[C]. Austin, Texas, USA, 2010. 13 – 18.
- [19] M Esmailia, MH Tadayonb, TA Gulliver. Low-complexity

- girth-8 high-rate moderate length QC LDPC codes[J]. Int J Electron Commun (AEÜ), 2010, 64: 360 – 365.
- [20] 张国华, 陈超, 杨洋, 等. Girth-8(3, L)-规则 QC-LDPC 码的一种确定性构造方法[J]. 电子与信息学报, 2010, 32(5): 1152 – 1156.
- Zhang Guo-hua, Chen Chao, Yang Yang, et al. Girth-8 (3, L)-regular QC-LDPC codes based on novel deterministic design technique[J]. Journal of Electronics & Information Technology, 2010, 32(5): 1152 – 1156. (in Chinese)
- [21] 张国华. 大围长结构化 LDPC 码的构造研究[D]. 陕西西安: 西安电子科技大学, 2010. 6.
- Zhang Guo-hua. Research on the construction of structured low-density parity-check codes with large girth[D]. Xi'an, Shaanxi: Xidian University, 2010. 6. (in Chinese)
- [22] Zhang Guo-hua, Wang Ju-hua, Li Xue-yuan, et al. Tight lower bound of consecutive lengths for QC-LDPC codes with girth at least ten[J]. Chinese Science Bulletin, 2011, 56(12): 1272 – 1277.
- [23] 张国华, 王新梅. 围长为 12 的 QC-LDPC 码连续码长的紧致下界[J]. 科学通报, 2011, 56(19): 1578 – 1582.
- Zhang Guo-hua, Wang Xin-mei. Tight lower bound of consecutive lengths for QC-LDPC codes with girth twelve[J]. Chinese Science Bulletin, 2011, 56(19): 1578 – 1582. (in Chinese)
- [24] JB Shearer. Some new disjoint Golomb rulers[J]. IEEE Trans Inf Theory, 1998, 44(7): 3151 – 3153.
- [25] A Dimitromanolakis. Analysis of the Golomb ruler and the Sidon set problems, and determination of large, near-optimal Golomb rulers[D]. Technical University of Crete, 2002.
- [26] 彭立, 朱光喜. QC-LDPC 码的置换矩阵循环移位次数设计[J]. 电子学报, 2010, 38(4): 786 – 790.
- Peng Li, Zhu Guang-xi. Shift value design of permutation matrices for QC-LDPC codes[J]. Acta Electronica Sinica, 2010, 38(4): 786 – 790. (in Chinese)
- [27] K Lally. Explicit construction of type-II QC LDPC codes with girth at least 6[A]. ISIT2007[C]. Nice, France, 2007. 2371 – 2375.
- [28] S. Kim, J-S No, H Chung, et al. Quasi-cyclic low-density parity-check codes with girth larger than 12[J]. IEEE Trans Inf Theory, 2007, 53(8): 2885 – 2891.

### 作者简介



**张国华** 男, 1977 年生于山西临汾. 1999 年, 2002 年和 2010 年分别在山东大学、中国空间技术研究院(西安分院)、西安电子科技大学获得理学学士、工学硕士和工学博士学位. 现在为中国空间技术研究院(西安分院)高级工程师, 主要从事信道编码理论和 ATM 交换方面的研究.

E-mail: zhangghcast@163.com



**王新梅** 男, 1937 生于浙江浦江. 西安电子科技大学教授、博士生导师, 主要研究方向为信道编码理论、密码学.